

מדידת תופעות שונות של התפרקות גרעינית בעזרת מונה גייגר-מולר

שם: נתיב מאור | ת"ז: 319002911 | דוא"ל: nativ.maor@campus.technion.ac.il

שם: דור חי שחם | ת"ז: 318258555 | דוא"ל: dor-hay.sha@campus.technion.ac.il

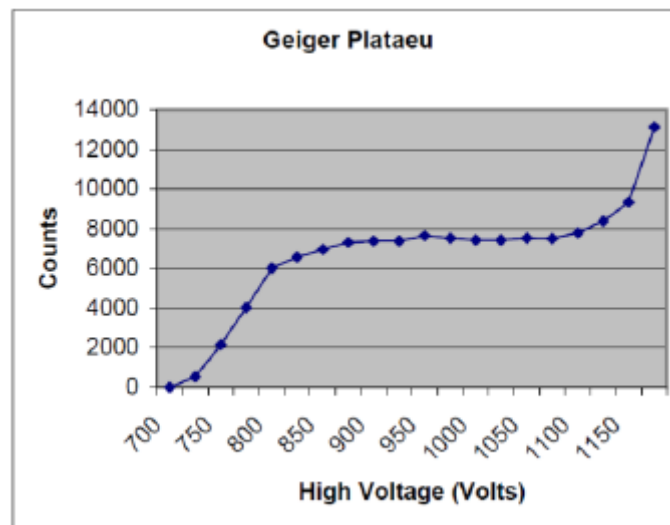
May 20, 2023

תקציר

בניסוי זה צפינו במספר תופעות שונות של התפרקות גרעינית בעזרת מונה גייגר-מולר. הניסוי הורכב מחמישה חלקים - בחלק הראשון, כחלק מקדים לניסויים הבאים חיפשנו את 'המתח היציב', מתח שבהפעלתו על מונה הגייגר הוא מתפקד בצורה אופטימלית. יצרנו גרף של מספר המיתוגים (קצב מיתוגים \equiv קצב התפרקויות שנספרו במונה) כתלות במתח ובחרנו במתח שעונה על מספר קריטריונים. קבענו את מתח זה להיות מתח ההפעלה בשאר חלקי הניסוי. בחלק השני של הניסוי נמדד 'קצב הרקע', ספירת המונה כשלא הוצב מקור רדיואקטיבי ליד המונה. בקצב זה השתמשנו בשאר הניסויים על ידי כך שהפחתנו אותו מהמדידות של הקצבים שהתקבלו כשכן הצבנו מקור קורן ליד המונה. נוסף על כך מדדנו את שלושת המומנטים הסטטיסטיים הראשונים של קצב המיתוגים עבור מקור חלש והסקנו מכך האם האופו של ההתפלגות הוא גאوسي או פאוסוני - מצאנו שההתפלגות היא בעלת אופי פאוסוני. בחלק השלישי, בדקנו את הקשר בין מרחק המקור הקורן מהמונה על ידי לקיחת מספר מדידות כשהמקור הוצב במרחקים שונים. מצאנו שהקשר בין חוזק הקרינה והמרחק הוא ריבועי הפוך $C \propto \frac{1}{d^2}$, כשנדרש פקטור תיקון a למרחוק שנמדד בפועל x ל $d = x + a$. הסקנו את a מהמדידות והשתמשנו בו בשאר חלקי הניסוי. בחלק זה ראינו התאמה טובה לקשר ריבועי הפוך. בחלק הרביעי, מדדנו את הטווח שבו חלקיקי אלפא נבלעים באוויר. על ידי קירוב הדוגמית הקורנת אל הגלאי חיפשנו את המרחק מהגלאי שעבור מרחק גדול ממנו הקצב במונה דועך דרסטית אל ערך הקרוב לזה של קרינת הרקע. דרך הקשר בין חוזק הקרינה למרחק הערכנו את אנרגיית חלקיקי האלפא וקיבלנו שהערך שהתקבל תואם לערך המקובל בספרות. בחלק החמישי הצבנו מקור קורן של חלקיקי בטא מול הגלאי והצבנו מול הגלאי חוסמי קרינה עשויים אלומיניום בעובי משתנה. דרך הקשר בין עובי החוסמים לקצב המיתוגים הסקנו את מקדם הדעיכה μ ואת טווח האנרגיה של חלקיקי הבטא. השוונו את התוצאות לערכים המקובלים בספרות וקיבלנו התאמה לספרות.

מבוא

כלי המדידה המרכזי בכל חלקי הניסוי הוא מונה גייגר-מולר. המונה מאפשר זיהוי של קרינה מייננת. שפופרת המונה מכילה גז ושתי אלקטרודות שביניהן הפרש פוטנציאלים. כאשר הגז מיונן, נוצרים יונים חיוביים ואלקטרונים חופשיים. הם מואצים אל האלקטרודות בעקבות השדה החשמלי כשאלקטרונים חופשיים עולים ליינן אטומי גז נופים וכך ליצור מפולת אלקטרונים - בעקבות אפקט זה נוצר פולס והפרש מתחים הניתן למדידה על ידי המונה ומתורגם לספירה של אירועי ינון. מתח עבודה על שפופרת המונה שייתן תוצאות אופטימליות נמצא ב'תחום היציב' וצריך לקיים שלושה קריטריונים: ראשית, להיות בטווח המתחים בהם הוא מספיק בשביל לאפשר פריקה מלאה לאורך האנודה בכל ספירה ('מעל הברך'). שנית, שינוי קל במתח לא ישנה או ישנה רק מעט את קצב הספירה. ושלישית שיהיה מתחת למתח הפריצה.



איור 1: גרף המציג את התחומים האופייניים עבור מתחים שונים כשבמרכז סביב $1000[Volts]$ נמצא התחום היציב

לאחר שמצאנו מתח העונה על דרישות אלה עבדנו איתו במהלך שאר חלקי הניסוי.

אופי התפלגות התפרקות של חומרים רדיואקטיבים מתואר לרוב על ידי תהליך רנדומי פאוסוני שלו ההתפלגות:

$$(1) \quad \mathbb{P}(n) = \frac{\lambda^n}{n!} e^{-\lambda}, \quad AVG = Var = STD^2 = K_3 = \lambda, \quad K_3 = \lambda$$

כש n מספר האירועים בטווח זמן קבוע כלשהו $\tau[sec]$. λ הוא פרמטר חסר יחידות המגדיר את ההתפלגות ובמקרה הזה שווה לשלושת המומנטים הראשונים של ההתפלגות $K_1 = AVG = \langle n \rangle$, $K_2 = Var = STD^2$, $K_3 = K_3$ כש K_i הוא המומנט ה- i .

ההערכה אמפירית של מומנטי התפלגות על פי m מדידות היא לפי

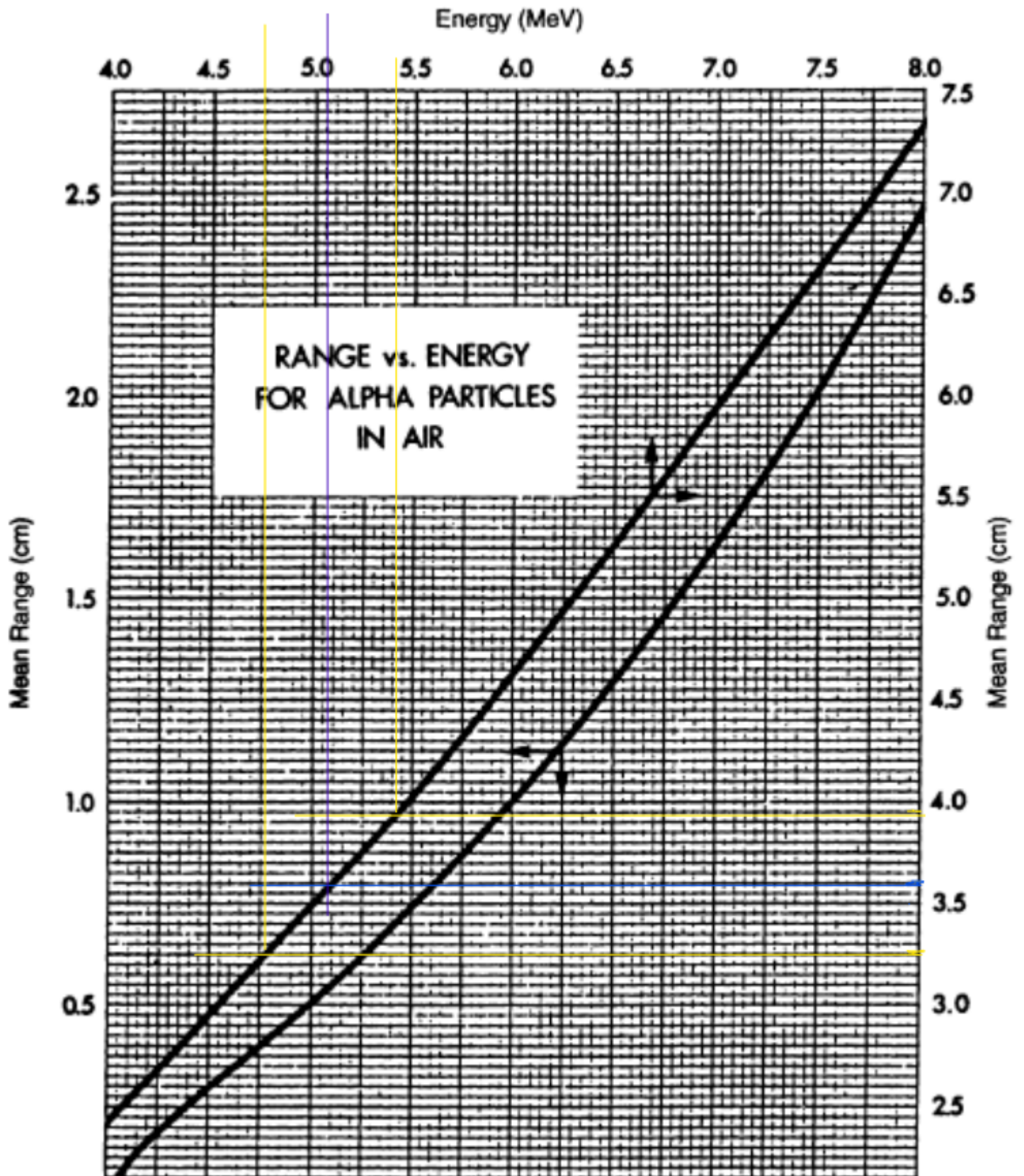
$$(2) \quad K_1 = \bar{n} = \frac{\sum_{i=1}^m n_i}{m}, \quad K_2 = \frac{\sum_{i=1}^m (n_i - \bar{n})^2}{m - 1}, \quad K_3 = \frac{\sum_{i=1}^m (n_i - \bar{n})^3}{m - 1}$$

בחלק השלישי של הניסוי נבדק הקשר בין מרחק הדוגמית לעוצמת הקרינה. עוצמת קרינת התפרקות רדיואקטיבית צפויה להיות תלויה במרחק לפי Law Square Inverse -

$$(3) \quad I \propto R - R_b \propto \frac{1}{d^2} = \frac{1}{(x + a)^2} \Rightarrow \frac{1}{\sqrt{R - R_b}} \propto x + a$$

כש $I[\frac{W}{m^2}]$ עוצמת הקרינה, R קצב המיתוגים הכולל ו R_b קצב מיתוגים מהרקע, $d[m]$ המרחק מהמקור ששווה ל $x + a$ כש x הוא מרחק שנמדד ו a קבוע הזזה.

בחלק הרביעי של הניסוי מדדנו את התלות של קצב המיתוגים במרחק המקור מהקולט כשהמקור הוא מהתפרקות אלפא. חלקיקי האלפא מעבדים אנרגיה באוויר ועבור מרחק גדול דיו מהקולט נצפה לקצב מיתוגים קרוב לרקע. לפי הקשר הנמדד בין $R \cdot d^2$ (המתאר את העוצמה הכוללת - ההכפלה ב d^2 מדמה חילוק בזווית המרחבית שבה המונה רואה את המקור) ל d . נקודת החיתוך עם ציר d נקראת הטווח הממוצע R_m . קשר בין R_m לאנרגיית חלקיקי האלפא ניתן על ידי האיור הבא:



איור 1: גרף המציג את הקשר בין הטווח הממוצע של הבליעה באוויר לאנרגיה של חלקיקי אלפא. איור 4 מתדריך הניסוי⁶ בחלק החמישי של הניסוי, כשהצבנו מקור של התפרקות בטא אל מול הגלאי והצבנו בין המקור לגלאי אלמנטי אלומניום חוסמים בעובי משתנה. בעזרת הקשר בין עובי החוסמים לקצב המיתוגים הסקנו את מקדם הדעיכה μ לפי הקשר שנגזר מחוק Beer Lambert:

$$(4) \quad I = I_0 e^{-\mu t} \Rightarrow \ln(R - R_b) = \ln(aI_0) - \mu t$$

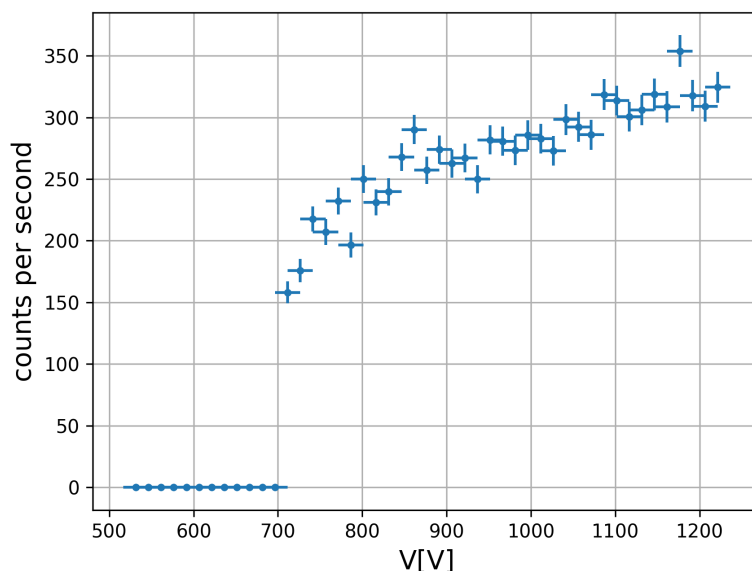
כש I_0 היא עוצמת הקרינה ללא מחסום, $\mu \left[\frac{(cm)^2}{mg} \right]$ מקדם הדעיכה ו $t \left[\left(\frac{(cm)^2}{mg} \right)^{-1} \right]$ density-thickness material. כשהמעבר נובע מהקשר הפרופורציוני בין $R - R_b$ ל I ו a הוא קבוע הפרופורציה. דרך μ נגדיר גודל הנקרא טווח $R = \frac{8 \ln(2)}{\mu}$ (Range) שממנו ניתן לגזור את האנרגיה המקסימלית של חלקי הבטא לפי נוסחא אמפירית:

$$(5) \quad E_{max} = e^{6.63 - 3.2376 \sqrt{10.2145 - \ln R}} [MeV]$$

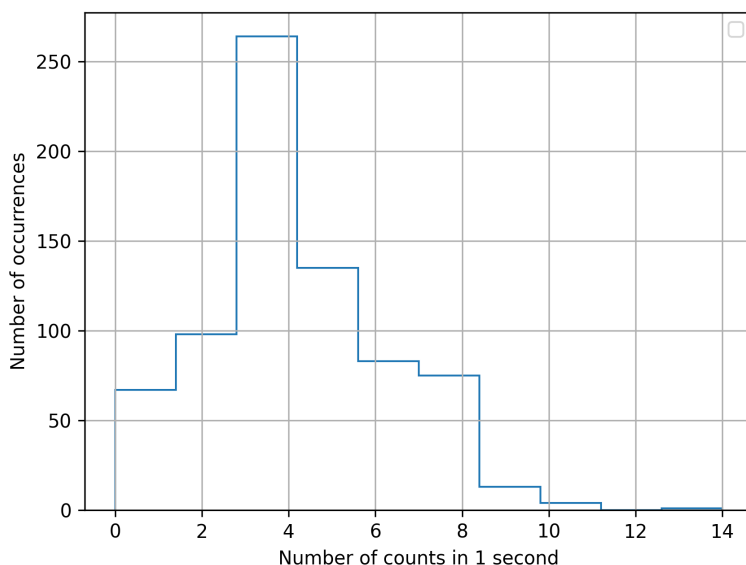
תוצאות הניסוי

חלק ראשון - Plateau

הדלקנו את מערכת ה- $ST - 360$ ואת תוכנת המחשב STX , הנחנו את דגימת ה- $SR - 90$ במדף העליון במ"ג (מונה גייגר). ביצענו מדידה של כמות המיתוגים במונה כפונקציה של מתח העבודה בין המתחים $V [500, 1200]$ כאשר המדידות התבצעו בקפיצות של $15V$ למשך 2 שניות למדידה. התקבל הגרף הבא:



כעת לקחנו מקור רדיואקטיבי - $Co - 60$ וביצענו כ-740 מדידות של שנייה אחת. התקבלה ההתפלגות הבאה:



גרף 2: התפלגות תצפיות המדידות מוצגת כהיסטוגרמה - ציר ה- x מייצג את כמות המיתוגים בשנייה וציר ה- y את כמות המופעים.

מתוך מדידות אלו חישבו את הקצב הממוצע ואת סטיית התקן שלו

$$\bar{n} = 4.181 \pm 0.075cps, \quad STD(n) = 2.045$$

כאשר 0.075 היא סטיית התקן של \bar{n} ו-2.045 היא סטיית התקן של הקצב.

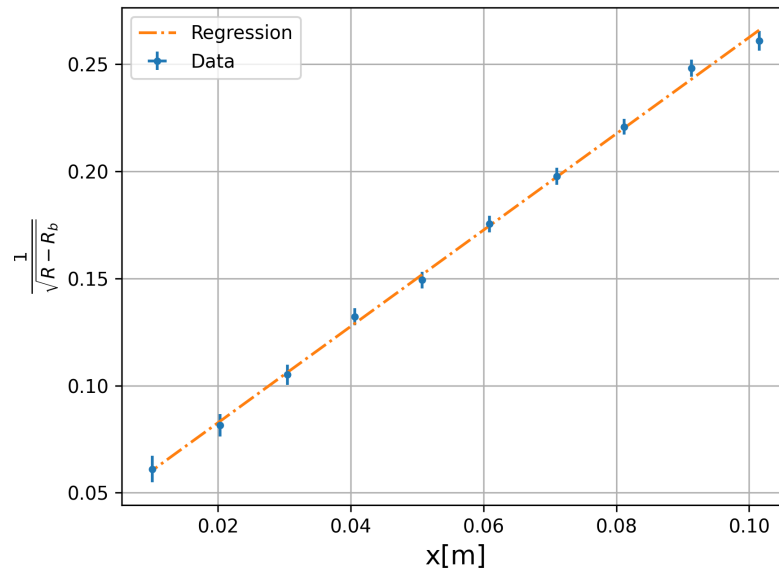
בנוסף חושב המקדם K_3 וסטיית התקן שלו והתקבל

$$K_3 = 3.7 \pm 1.7$$

קיבלנו שהתחום של \bar{n} מוכל בתחום של K_3 לכן באופן מובהק סטטיסטי ניתן להגיד ש- $\bar{n} = K_3$ ולכן על פי התאוריה קרינת מתפלגת פאוסונית.

חלק שלישי - Inverse Square Law

מדדנו את המרחקים בין המדפים השונים במ"ג, לאחר מכן, הכנסו דגימה של $Sr - 90$ למדף התחתון וביצענו מדידות במדפים השונים. בשביל לבדוק את Inverse Square Law חיסרנו מהמדידות את קרינת הרקע שמדדנו בחלק השני וביצענו התאמה לינארית לפי נוסחה (?). התקבלו התוצאות הבאות:



גרף 3: $\frac{1}{\sqrt{R-R_b}}$ ביחידות של $m^{-\frac{1}{2}}$ כפונציה של x - מרחק הדגימה מהמ"ג במטרים. הדגימות מוצגות בכחול והגרסיה בכתום.

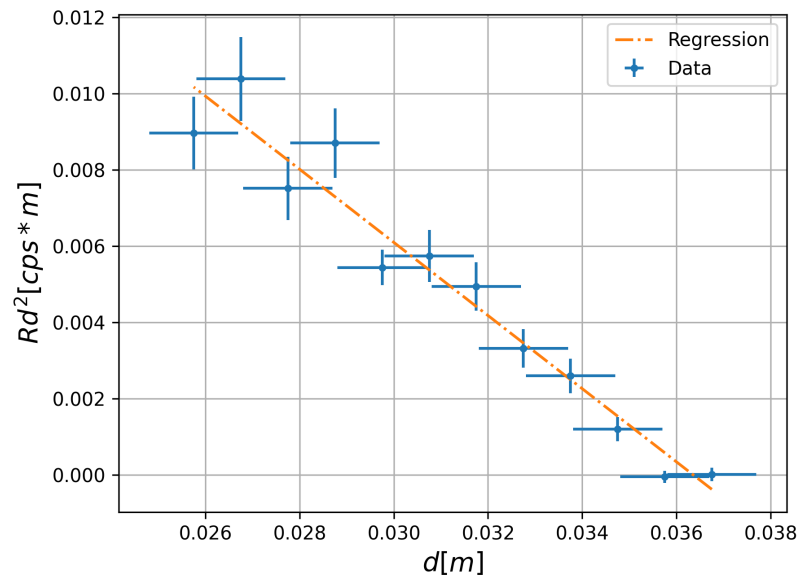
ניתן לראות שיש התאמה טובה לעקום לינארי הן מבחינה איכותית - העקום עובר דרך כל המדידות בטווח השגיאה והן מבחינה איכותית - התקבלה התאמה של $R^2 = 0.998$.
התאמה זו היא עדות חזקה לקיום התופעת Inverse Square Law.
משוואת העקום שהתקבל היא:

$$y = (2.248 \pm 0.032) x + (0.038 \pm 0.002)$$

מתוך נוסחה (?) והמשוואה שהתקבלה ניתן לחלץ את הפקטור הגיאומטרי a ולקבל

$$a = 0.0168 \pm 0.0009m$$

בחלק זה לקחנו מקור $Po-210$ והנחנו אותו במדף השני הכי קרוב למ"ג, במדף זה מדדנו ומצאנו כי הקצב מתאים לקרינת הרקע. לאחר מכן ביצענו מדידות של הקצב בגבהים שונים בעזרת הנחת דיסקיות מתחת דקות שונות מתחת למקור. לאחר הפחתת קרינת הרקע מהקצב הנמדד התקבל הגרף הבא:



גרף 4: קצב המיתוגים המנורמל Rd^2 ביחידות של $\text{cps} \cdot \text{m}$ כפונציה של d - מרחק הדגימה מהמ"ג במטרים. הדגימות מוצגות בכחול והרגרסיה בכתום.

המרחק d חושב בעזרת על ידי המרחק הנמדד מהמ"ג בתוספת הפקטור הגאומטרי a שחושב סעיף קודם והקצב R תוקן בעזרת פקטור של d^2 . ניתן לראות שההתאמה לגרף הלינארי אינה טובה במיוחד אך רוב המדידות נמצאות בטווח השגיאה, התקבל מקדם התאמה של $R^2 = 0.948$. מהרגרסיה התקבלה משוואת העקום:

$$y = (-0.96 \pm 0.07)x + (0.0349 \pm 0.0022)$$

ביצענו אקסטרפולציה לטווח בו קצב פליטת החלקיקים מתאפס, בעזרת גודל זה ואיור (?) הוערכה האנרגיה של חלקיקי α להיות

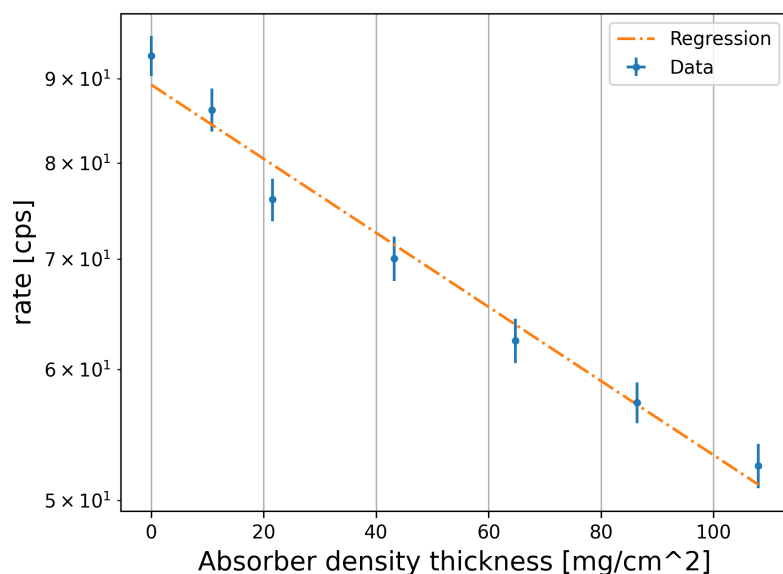
$$E_\alpha = 5.06 \pm 0.3 \text{ MeV}$$

טווח זה מכיל את הערך התיאורטי $E_\alpha^{\text{theory}} = 5.3 \text{ MeV}$ [2]

חלק חמישי - Absorption of Beta Particles and Beta Decay Energy

הנחנו מקור של $Sr - 90$ בתוך המ"ג במדף השלישי מלמעלה. ביצענו מדידות כך שבכל מדידה שמנו חסם אלומיניום בעובי שונה ומדדנו את כמות המיתוגים שהתקבלה.

התקבלו התוצאות הבאות:



גרף 5: קצב המיתוגים (לאחר הפחתת קרינת הרקע) ביחידות של cps כפונקציה של צפיפות העובי ביחידות של $\frac{mg}{cm^2}$.

המדידות מסומנות בכחול והגרסיה בכתום. מוצג בסקלה לוגריתמית בציר y .

מקדם ההתאמה לגרסיה $R^2 = 0.9775$ ומשוואת הרגרסיה שהתקבלה:

$$y = (-0.00516 \pm 0.00035) x + (4.492 \pm 0.021)$$

מתוך נוסחה (!) ומשוואת הרגרסיה נקבל את מקדם הבליעה

$$\mu = (5.16 \pm 0.35) \cdot 10^{-3} \frac{cm^2}{mg}$$

ערך זה אינו תואם את הערך התיאורטי [3] $\mu_{theory} = 0.035 \frac{cm^2}{mg}$ נדון בפער זה בדיון.

מתוך ערך זה חישבנו על פי נוסחה (!) את הטווח הבליעה המקסימלי

$$R = 1073 \pm 72 \frac{mg}{cm^2}$$

על פי נוסחה (?) את האנרגיה המקסימלית וקיבלנו :

$$E_{\beta} = 2.24 \pm 0.14 MeV$$

אשר מכיל את התחום התיאורטי [2] $E_{\beta}^{theory} = 2.3 MeV$

דיון בתוצאות

בחלק הראשון מדדנו את מתח העבודה מצאנו שאכן יש טווח מתחים בו קצב המיתוגים אינו תלוי במתח בקירוב טוב כפי שמוצפה מהתאוריה. בטווח זה בחרנו את מתח ההפעלה להיות $V = 1000V$.

בחלק השני מדדנו את הקצב של המיתוגים של קרינת הרקע וקיבלנו $R = 0.29 \pm 0.05 \text{ cps}$ בקצב זה השתמשנו בשאר הניסויים בשביל לבדוד את הקצב של המקור. בעזרת מקור $Co - 60$ עליו ביצענו הרבה מדידות מצאנו את הקצב הממוצע של פליטת חלקיקים $\bar{n} = 4.184 \pm 0.075 \text{ cps}$ ואת סטיית התקן הממוצעת $STD(n) = 2.045$. כמו כן חישובנו את המקדם K_3 וסטיית התקן שלו והתקבל $K_3 = 3.7 \pm 1.7$. תחת ההנחה של התפלגות פואסונית היינו מצפים לראות חפיפה בטווחים של \bar{n}, K_3 ועל פי הנחה של התפלגות נורמלית K_3 אמור להכיל את 0 בטווח. מן התוצאות קיבלנו באופן מובהק סטטיסטי שיש חפיפה בין \bar{n}, K_3 וגם ש K_3 אינו מכיל את 0 בתחום ולכן נסיק שההתפלגות של הקרינה היא פואסונית.

בחלק השלישי בדקנו התאמה של דעיכת עוצמת הקרינה לדעיכה ריבועית במרחק וקיבלנו התאמה טובה מאוד של $R^2 = 0.998$ בנוסף ממדידה זו חילצנו את הקבוע הגאומטרי $a = 0.0168 \pm 0.0009m$ אשר שימש אותנו לשאר המדידות.

בחלק הרביעי מדדנו את האנרגיה ומרחק הדעיכה של חלקיק α בעזרת מקור $Po - 210$. השגיאות שהתקבלו מהמדידה היו גדולות וההתאמה הלינארית לא טובה במיוחד $R^2 = 0.948$ אך ניתן לראות בגרף 4 שרוב המדידות נמצאות בטווח השגיאה. אנו מייחסים את השגיאות הגדולות וחוסר ההתאמה לכך שהדוגמית מוקמה על משטחים מגביהם אשר הסתירו את הסימון על המדף שעזר לנו למקם את המקור באמצע התא, לכן במהלך חלק מהמדידות המקור לא נמצא באמצע התא ולכן הזווית בה היה ביחס למ"ג לא הייתה אופטימלית והשפיעה על תוצאות הניסוי. בנוסף, משום ששגיאת המדידה לינארית עם שורש כמות המיתוגים ברוב הניסויים דאגנו להמתין מספיק זמן כך שכמות המיתוגים תביא לשגיאה יחית קטנה. אך במקור בו השתמשנו קצב המיתוגים היה מאוד איטי ולכן, משיקולי זמנים, נאלצו לקצר את המדידות, דבר אשר הגדיל את השגיאה היחסית. מתוך הרגרסיה הלינארית חושב טווח הדעיכה של חלקיק α והתקבל $R_\alpha = 34.9 \pm 2.2mm$ בעל שגיאה יחסית של 6.3% ומתוך ערך זה חולצה האנרגיה של החלקיק והתקבלה $E_\alpha = 5.06 \pm 0.3MeV$ בעלת שגיאה יחסית של 5.9%.

האנרגיה הושוותה לתיאוריה [2] והתקבל שהיא מכילה את הערך התאורטי $E_\alpha^{theory} = 5.3MeV$.

בחלק החמישי חושב עבור קרינת β הנובעת ממקור $Sr - 90$ מקדם הדעיכה באלומיניום, מרחק הדעיכה והאנרגיה של הקרינה. בוצעה התאמה והתקבלה התאמה בינונית של $R^2 = 0.9775$ מבחינה איכותית רוב הדיגמות נמצאות בטווח השגיאה מהרגרסיה. אנו חושדים ששגיאות אלו נבעו מכך שמחסומי האלומיניום ששומשו לא היו בעל פני שטח חלקים דבר אשר גרם לפיזור חלקיקים לא עיקבי בין החסמים השונים והסיט את תוצאות המדידה. מתוך ההתאמה נמצא מקדם הדעיכה באלומיניום להיות $\mu = (5.16 \pm 0.35) \cdot 10^{-3} \frac{cm^2}{mg}$ בעל שגיאה יחסית של 6.8%, ערך אשר לא תאם את הערך התיאורטי [3] $\mu_{theory} = 0.035 \frac{cm^2}{mg}$ נדון בפער זה לאחר הדיון באנרגיה. מתוך גודל זה חושב מרחק הדעיכה ונמצא $R_\beta = 1073 \pm 72 \frac{mg}{cm^2}$ בעל

שגיאה יחסית של 6.7% ומגודל זה חושבה האנרגיה המקסימלית של הקרינה $E_\beta = 2.24 \pm 0.14 \text{ MeV}$ בעל שגיאה יחסית של 6.25% תחום זה מכיל את הערך התיאורטי עבור הדעיכה השנייה של ^{90}Sr $E_\beta^{\text{theory}} = 2.3 \text{ MeV}$ [2]. כעת נדון בפער במקדם הדעיכה, על פי מקור 3 לפיו לקחנו את הערך התיאורטי של מקדם הדעיכה האנרגיה שמתאימה לקרינה בטא ב- ^{90}Sr היא 0.54 MeV , ערך אשר מתאים לדעיכה הראשונה של ^{90}Sr על פי מקור 2. היות וראינו שהאנרגיה מחושבת על ידי מרחק הדעיכה והוא מחושב בעזרת μ נסיק שהם תלויים. מקדם הדעיכה שהוצג במקור 2 מתאים לאנרגיה שונה מן האנרגיה אשר מצאנו במדידות שלנו לכן אין סיבה שמקדם זה יהיה יתאים למקדם שמצאנו בניסוי.

מסקנות

מקורות מידע

(1) תדריך התפרקות גרעינית - Nuclear Physics Lab Manual 8March2023

(2) דף מקורות קרינה גרינית.

Baltakmens, T., A simple method for determining the maximum energy of beta emitters by absorption measurement

נספח

- הנוסחה בה השתמשנו לחישוב השגיאות הנגררות בניסוי:

$$\delta F = \sqrt{\left(\frac{\partial F}{\partial x} \delta x\right)^2 + \left(\frac{\partial F}{\partial y} \delta y\right)^2 + \dots}$$

כאשר $\delta x, \delta y, \dots$ הן השגיאות של x, y, \dots ו- δF היא השגיאה הנגררת של F , שהיא פונקציה של המשתנים

x, y, \dots .

- הנוסחה בה השתמשנו לחישוב השגיאה היחסית בין הערכים המדודים לתיאורטיים בניסוי:

$$\xi_{rel \ err} = \frac{\delta v}{v} \cdot 100\%$$